



Harmony Search

和声搜索

和声搜索 (Harmony Search, HS) 算法是2001年由韩国学者 Geem ZW等人提出^[1]

GA(遗传算法)

SA(模拟退火算法)

PSO(粒子群算法)



生物进化过程

物理退火过程

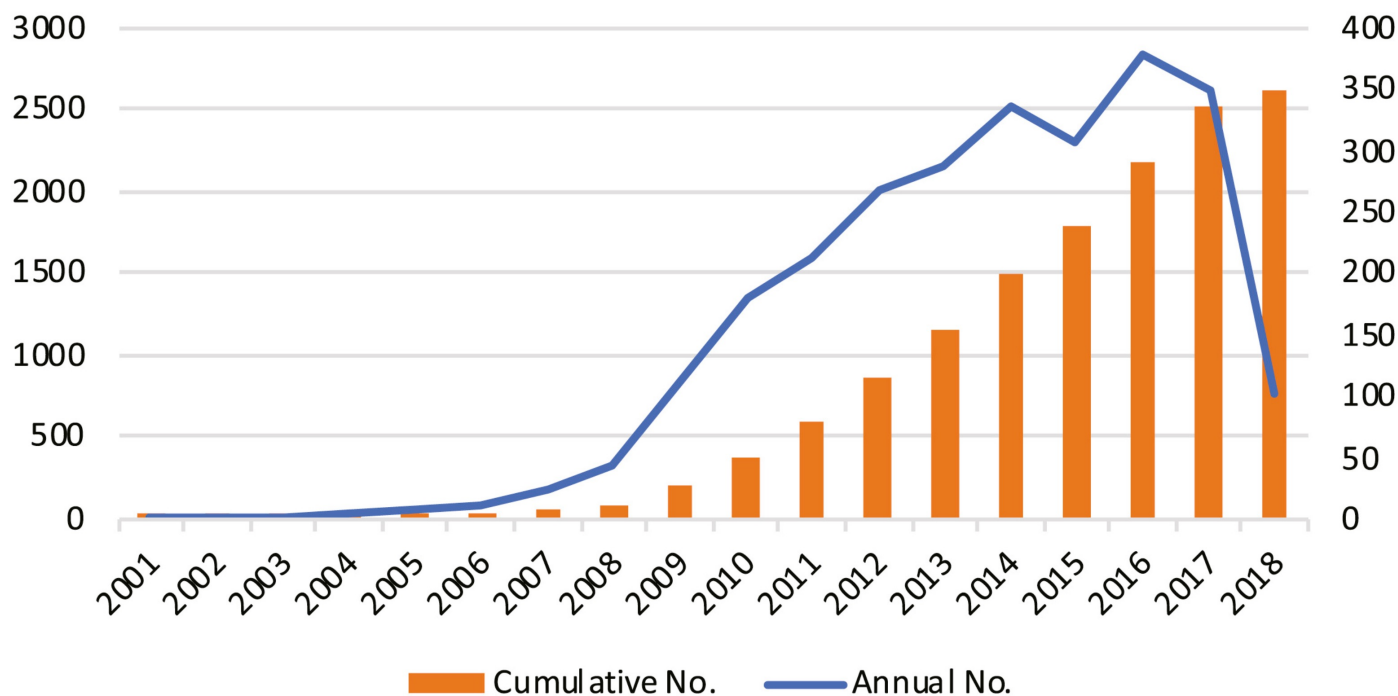
鸟群捕食行为

HS模拟了音乐演奏的原理。在音乐演奏中，乐师们凭借自己的记忆，通过反复调整乐队中各乐器的音调，最终达到一个美妙的和声状态。

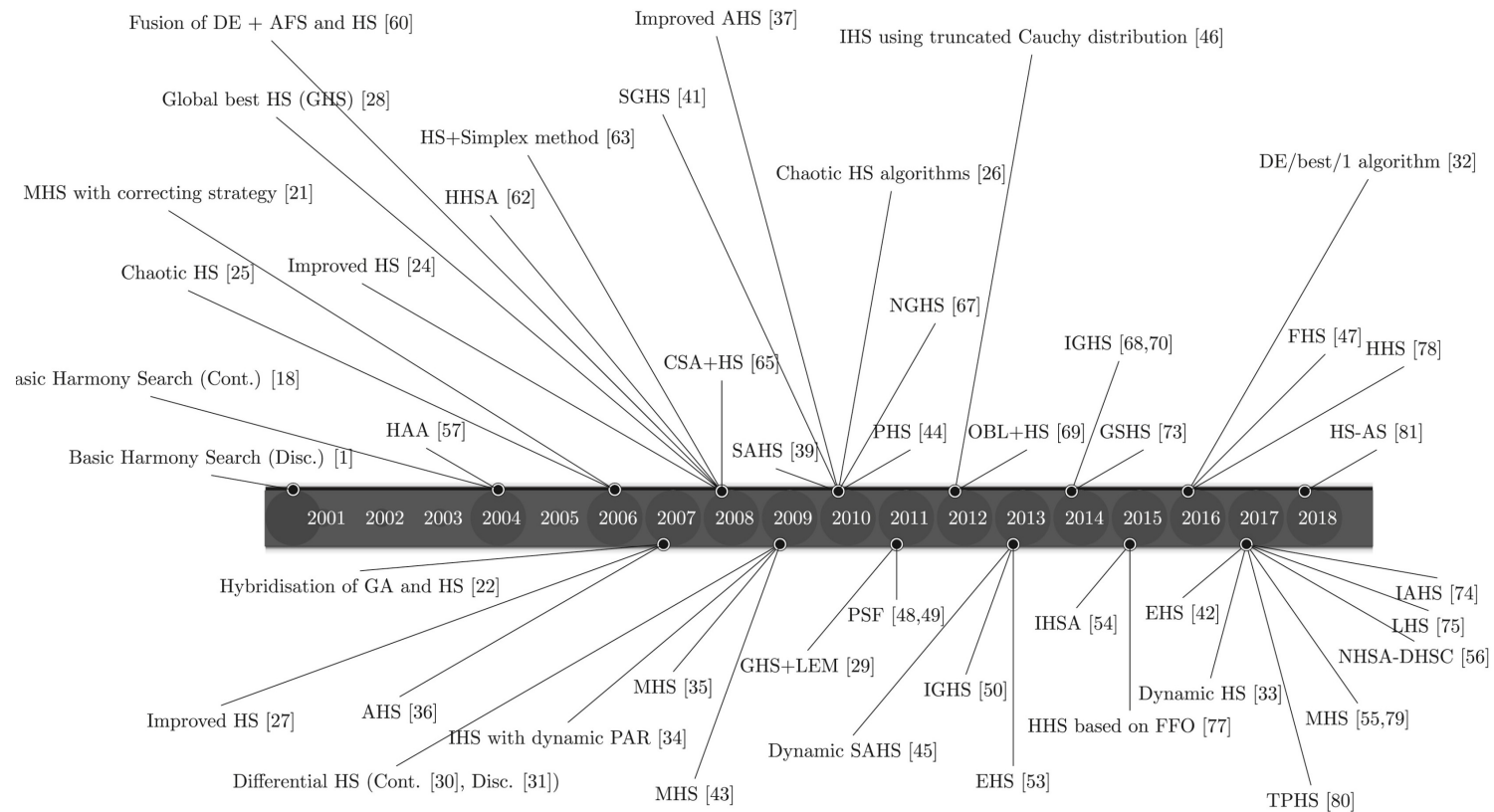
[1] Geem ZW, Kim JH, Loganathan GV. A new heuristic optimization algorithm: harmony search. Simulation, 2001, 76(2):60–68.

发展趋势

Growing interest in Harmony Search algorithm



[1] Zhang T, Geem Z W. Review of harmony search with respect to algorithm structure[J]. Swarm and Evolutionary Computation, 2019, 48: 31-43.



[1] Zhang T, Geem Z W. Review of harmony search with respect to algorithm structure[J]. Swarm and Evolutionary Computation, 2019, 48: 31-43.

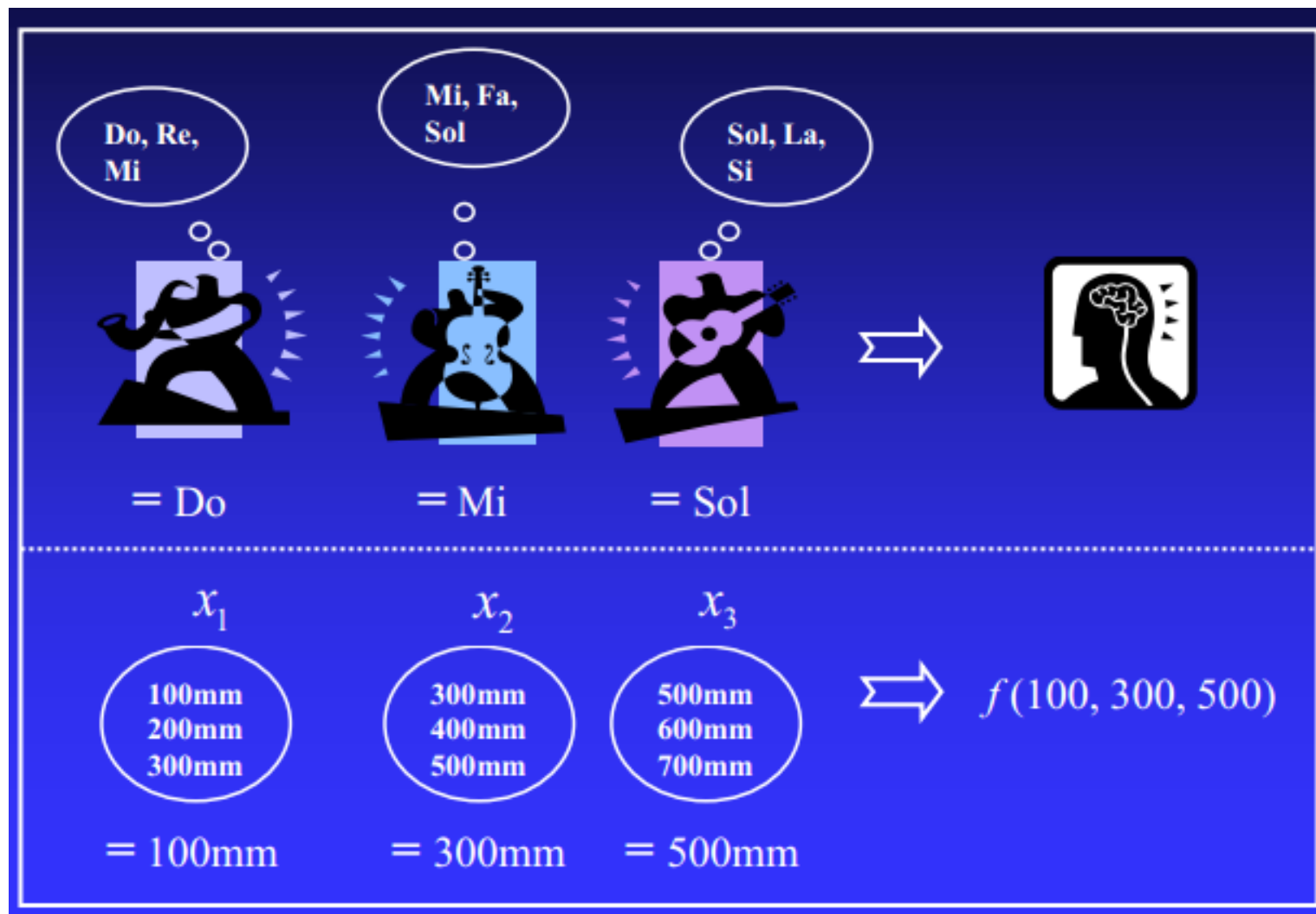
乐理知识

音调：声音频率的高低

音高：1234567这些音的高低

和声：由3个或者3个以上不同的音按一定的法则同时发声而构成的音响组合。

常见的和声：大三和弦(135)，主要用在大调的音乐中，比如国歌；小三和弦(1降35， 613)，主要用在小调的音乐中，比如俄罗斯和日本的音乐；四六和弦，古典音乐中比较常用。
四部和声，就是有4个声部的和声



音乐表演 ↔ 优化算法

音乐演奏→寻找由美学评价所决定的最佳状态

优化算法→寻找由目标函数值所决定的最优值

- 乐器 ↔ 决策变量
- 音调范围 ↔ 决策变量取值范围
- 和声 ↔ 解向量
- 审美(音乐效果评价) ↔ 目标函数
- 练习 ↔ 迭代
- 经验 ↔ 知识库

优化问题：

$$\begin{aligned} \min f(X) \\ \text{s.t. } x(i) \in D_i, i = 1, 2, \dots, n \end{aligned}$$

$f(x)$

目标函数

$X = \{x(1), \dots, x(n)\}$

解向量

$x(i)$

第 i 个决策变量

$D_i = [x_{\min}(i), x_{\max}(i)]$

连续决策变量的取值范围；

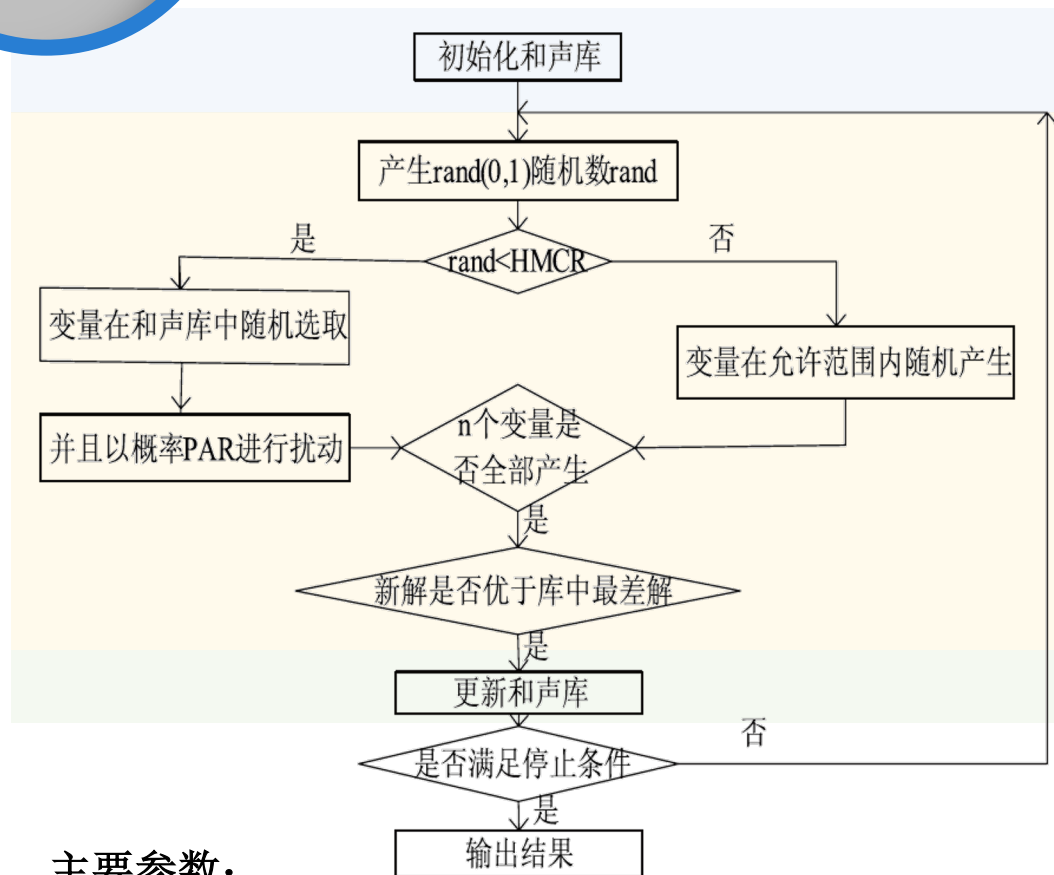
离散决策变量则为 $D_i = (x(i, 1), x(i, 2), \dots, x(i, K))$

n

决策变量个数

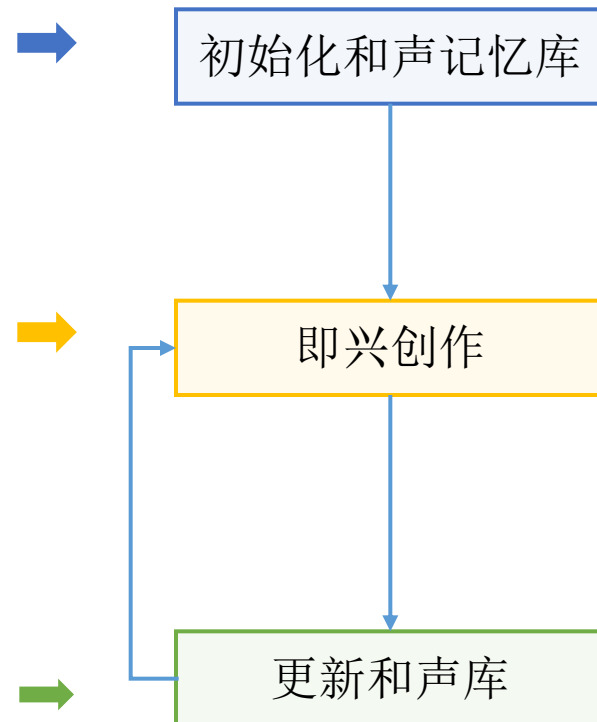
K

离散决策变量可能值的个数



主要参数:

- 和声记忆库大小 (Harmony memory size, HMS)
- 记忆库取值概率 (Harmony memory considering rate, P_{CR})
- 微调概率 (Pitch adjusting rate, P_{AR})
- 音调微调带宽 dB
- 创作的次数 T_{max}



算法步骤

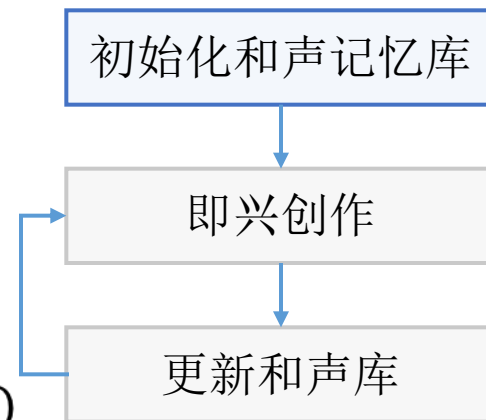
➤ Step1 初始化HMS个和声向量组成和声记忆库

$$HM = \{X_1, X_2, \dots, X_{HMS}\}$$

$$X_i = \{x_i(1), x_i(2), \dots, x_i(n)\}$$

连续型: $x_i(j) = x_{min}(j) + (x_{max}(j) - x_{min}(j)) * rand(0, 1)$

离散型: $x_i(j) = x_i(j, k), k = rand(0, K)$

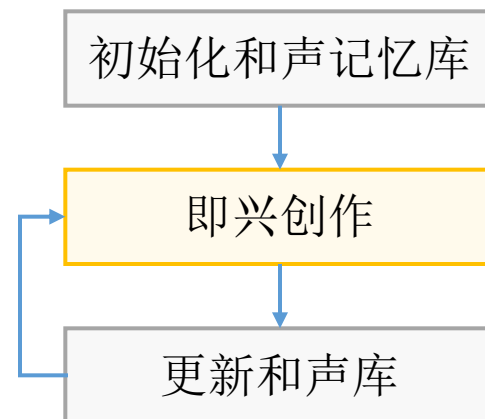
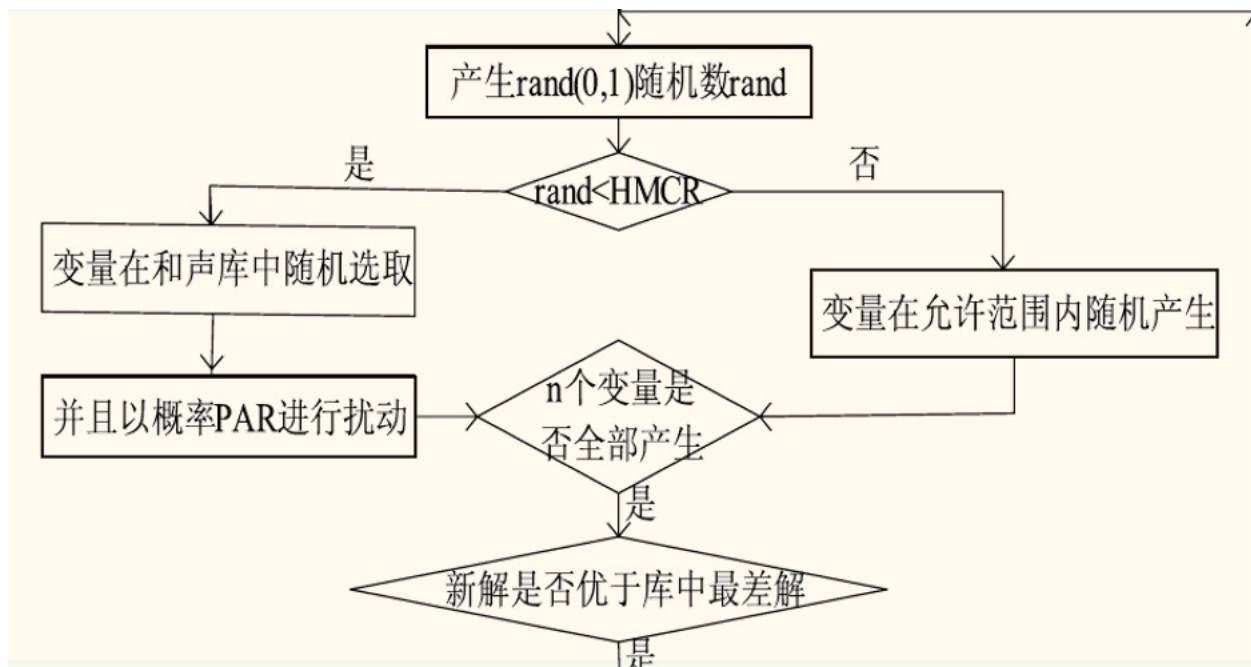


随机初始化

为产生性能较好的初始解，也可以利用规则/知识初始化



算法步骤

➤ Step2 即兴创作产生一个新的和声向量

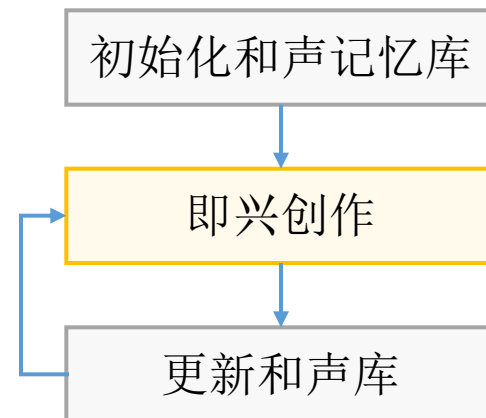
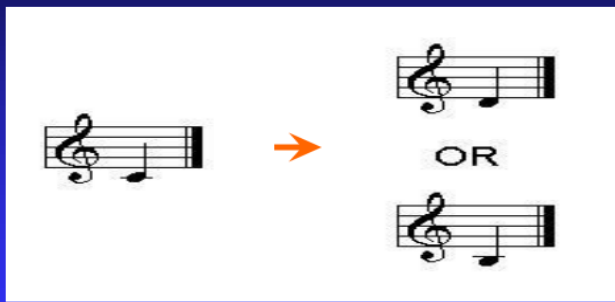


算法步骤

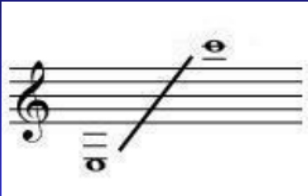

➤ Step2 即兴创作产生一个新的和声向量

$x \in \text{Preferred Note} = \{C4, E4, C4, G4, C4\}$

$x+ \text{ or } x-, x \in \text{Preferred Note}$

$x \in \text{Playable Range} = \{E3, F3, G3, A3, B3, C4, D4, E4, F4, G4, A4, B4, C5, D6, E6, F6, G6, A6, B6, C7\}$

算法步骤

➤ Step2 即兴创作产生一个新的和声向量

➤ 学习和声记忆库

$$x_{new}(j) = x_a(j)$$

➤ 音调微调

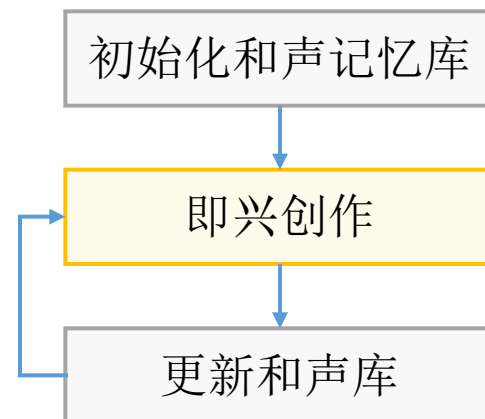
$$\text{连续型: } x_{new}(j) = x_{new}(j) \pm rand(0, 1) * dB$$

$$\text{离散型 } x_{new}(j) = x_{new}(j, k \pm 1)$$

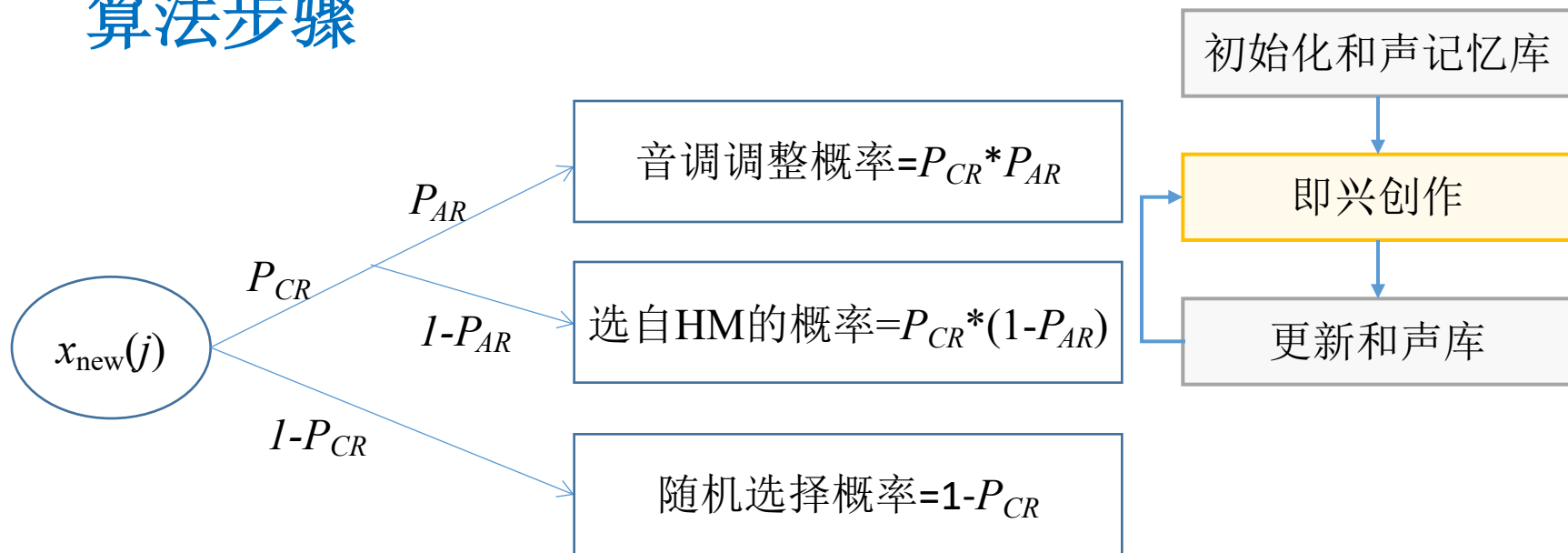
➤ 随机选择音调

$$\text{连续型: } x_{new}(j) = x_{min}(j) + (x_{max}(j) - x_{min}(j)) * rand(0, 1)$$

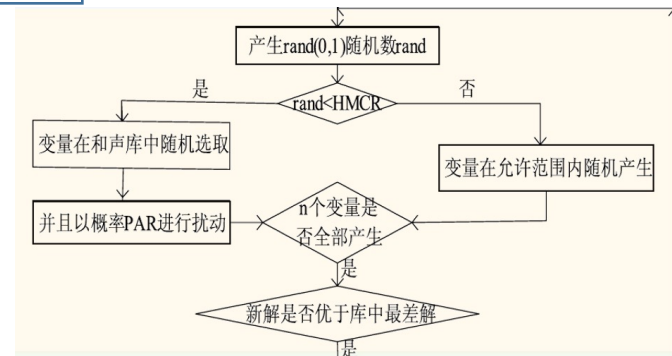
$$\text{离散型: } x_{new}(j) = x_i(j, k), k = rand(0, K)$$



算法步骤



- 记忆库取值概率 (Harmony memory considering rate, P_{CR})
- 微调概率 (Pitch adjusting rate, P_{AR})

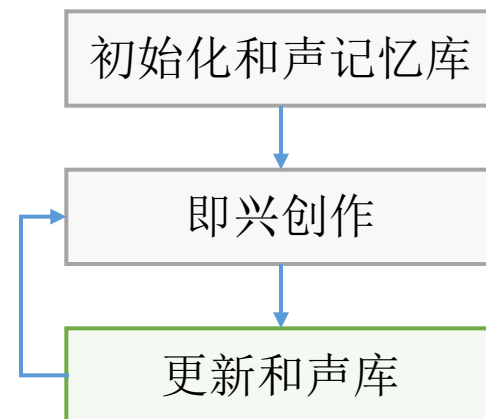


算法步骤

➤ Step3 更新记忆库

$$X_{\text{Worst}} = X_{\text{new}} \text{ if } f(X_{\text{new}}) < f(X_{\text{Worst}})$$

对Step2 中的新解进行评估，如果优于HM 中的函数值最差的一个，则将新解更新至HM 中



GA 与HS 搜索机制的相似点

1. 基础HS和GA都是随机初始化
2. 都有适者生存机制，会淘汰效果较差的解
3. HS有类似于GA的交叉与变异机制

GA 与HS 搜索机制的差异比较

	GA	HS
复制	父代个体中挑选出成对的染色体	从和声库里挑选和声
交叉	任意两条染色体进行交叉：通常进行单点或双点交叉	HMS组解进行交叉采用多点交叉模式
变异	交叉后进行变异	变量有 $1-P_{CR}$ 的概率逃脱和声记忆库
微调	无微调机制	选自HMS中的变量有 P_{AR} 的概率进行微调

算法优点

1. 通用框架，不依赖问题信息
2. 原理简单，易于实现
3. 群体搜索，具有记忆个体最优解的能力
4. 协同搜索,具有利用个体局部信息和群体全局信息指导算法进一步搜索的能力
5. 易于与其他算法混合,构造出具有更优性能的算法

算法示例 (1)

$$\text{Min } f(x) = (x(1)-2)^2 + (x(2)-3)^2 + (x(3)-1)^2 + 3, x(j) \in (0, 6)$$

初始化和声记忆库 (HMS = 3)

$$X_1 = \{1.5, 2.1, 1\} \quad 4.06$$

$$X_2 = \{1.7, 3, 4.4\} \quad 14.65$$

$$X_3 = \{5.5, 3.8, 2.6\} \quad 18.45$$

算法示例 (1)

$$\text{Min } f(x) = (x(1)-2)^2 + (x(2)-3)^4 + (x(3)-1)^2 + 3, x(j) \in (0, 6)$$

即兴创作

$$X_{\text{new}} = \{-, -, -\}$$

$\text{rand}(0, 1) < P_{CR}, \text{rand}(0, 1) > P_{AR}$

$$x_{\text{new}}(1) = x_2(1) = 1.7$$

$\text{rand}(0, 1) > P_{CR}$

$$x_{\text{new}}(3) = 0 + \text{rand}(0, 1) * 6 = 0.3 * 6 = 1.8$$

$\text{rand}(0, 1) < P_{CR}, \text{rand}(0, 1) < P_{AR}$

$$x_{\text{new}}(2) = x_1(2) = 2.1$$

$$x_{\text{new}}(2) = x_{\text{new}}(2) + \text{rand}(0, 1) * \text{dB} = 2.1 + 0.5 * 1 = 2.6$$

$$X_{\text{new}} = \{1.7, 2.6, 1.8\} \quad 3.89$$

算法示例 (1)

$$\text{Min } f(X) = (x(1)-2)^2 + (x(2)-3)^4 + (x(3)-1)^2 + 3, x(j) \in (0, 6)$$

更新记忆库

$$X_W = X_3$$

$$f(X_{\text{new}}) = 3.89 < f(X_W) = 18.45$$

$$X_3 = X_{\text{new}}$$

旧记忆库

$$X_1 = \{1.5, 2.1, 1\} \quad 4.06$$

$$X_2 = \{1.7, 3, 4.4\} \quad 14.65$$

$$X_3 = \{5.5, 3.8, 2.6\} \quad 18.45$$



新记忆库

$$X_1 = \{1.5, 2.1, 1\}$$

$$X_2 = \{1.7, 3, 4.4\}$$

$$X_3 = \{1.7, 2.6, 1.8\}$$

流水线车间调度问题 (FSP)

- n 个工件需要在 m 台机器上加工，每个工件访问机器的顺序相同 (置换流水线：每台机器加工工件的顺序也相同)
- 确定工件的加工顺序，使调度目标最优

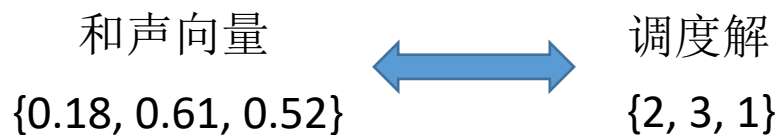


HS如何求解组合优化问题？

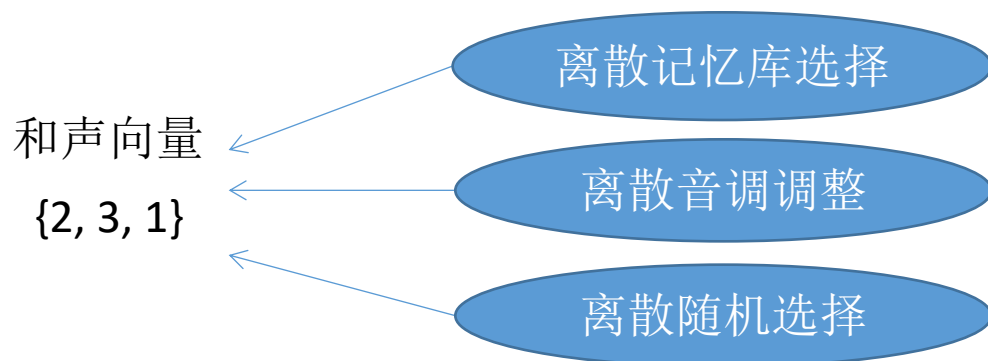
连续 \longleftrightarrow 离散

算法示例 (2)

➤ 设计连续域到离散域的映射



➤ 设计离散化算法操作



算法示例 (2)

连续域到离散域的映射

- Largest position value (LPV)规则

$$X_i = \{0.4, 0.6, 0.3, 0.5, 0.1\}$$



第j维	1	2	3	4	5
$x_i(j)$	0.4	0.6	0.3	0.5	0.1



工件序列	2	4	1	3	5
$x_i(j)$ 非增排序	0.6	0.5	0.4	0.3	0.1



$$\pi_i = \{2, 4, 1, 3, 5\}$$

设计离散化算法操作

➤ 记忆库选择

If $x_a(j)$ is not included in $x_{\text{new}}()$

$$x_{\text{new}}(j) = x_a(j);$$

Else

randomly select a job that is not included in $x_{\text{new}}()$;

End If

➤ 随机选择

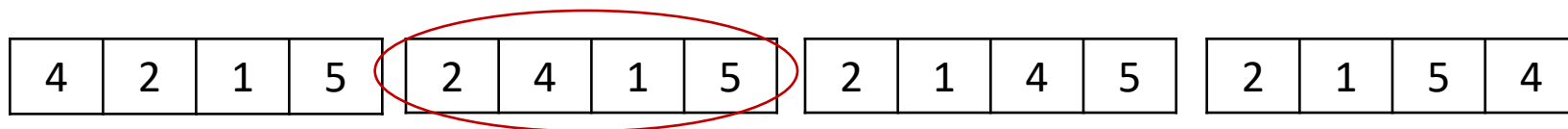
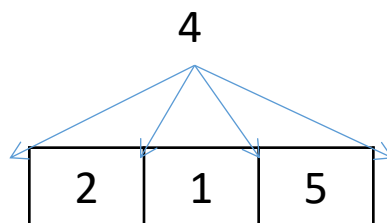
randomly select a job that is not included in $x_{\text{new}}()$

算法示例 (2)

设计离散化算法操作

➤ 音调调整

将第j位的工件依次插入到当前序列的第1到j位，并选择使目标值最小的序列



算法示例 (2)

设计离散化算法操作

$$HM = \begin{bmatrix} 2 & 1 & 4 & 3 \\ 1 & 4 & 2 & 3 \\ 3 & 2 & 4 & 1 \end{bmatrix}$$

- $j = 1$ 记忆库选择: $x_{\text{new}}(1) = x_2(1) = 1$
 - $j = 2$ 记忆库选择: $x_{\text{new}}(2) = x_3(2) = 2$
音调调整: $\{2 \ 1\}, \{1 \ 2\} \rightarrow \{2 \ 1\}$
 - $j = 3$ 随机选择: $\{3, 4\} \rightarrow x_{\text{new}}(3), x_{\text{new}}(3) = 3$
 - $j = 4$ 记忆库选择: $x_{\text{new}}(4) = x_1(4) = 3$
 $\{4\} \rightarrow x_{\text{new}}(4), x_{\text{new}}(4) = 4$
- $$X_{\text{new}} = \{2, 1, 3, 4\}$$

算法改进的三个方向：

- 算法参数动态调整
- 基于问题性质的搜索策略
- 和其他算法协同优化

➤ 算法参数动态调整

即兴次数

$$PAR(Imp) = PAR_{\min} + \frac{Imp}{MaxImp} \times (PAR_{\max} - PAR_{\min}),$$

$$PAR(Imp) = PAR_{\min} + \frac{f_{Imp,\max} - f_{\text{mean}}}{f_{Imp,\max} - f_{Imp,\min}} \times (PAR_{\max} - PAR_{\min})$$

- [1] Mahdavi M, Fesanghary M, Damangir E. An improved harmony search algorithm for solving optimization problems[J]. Applied mathematics and computation, 2007, 188(2): 1567-1579.
- [2] dos Santos Coelho L, de Andrade Bernert D L. An improved harmony search algorithm for synchronization of discrete-time chaotic systems[J]. Chaos, Solitons & Fractals, 2009, 41(5): 2526-2532.
- [3] Lee J H, Yoon Y S. Modified harmony search algorithm and neural networks for concrete mix proportion design[J]. Journal of Computing in Civil Engineering, 2009, 23(1): 57-61.

➤ 策略搜索

- ✓ 用前向或后向策略产生初始解
 - 前向：按活动时间对活动进行升序排列，依次进行调度
 - 后向：按活动时间对活动进行降序排列，依次进行调度
- ✓ Opposition-Based Learning 产生新解

Algorithm 3. Opposition-based initialization

```
1:  for  $i = 1$  to  $HMS$  do
2:    for  $j = 1$  to  $D$  do
3:       $x_{i,j} = L_j + rand(0,1) \cdot (U_j - L_j)$ 
4:       $ox_{i,j} = L_j + U_j - x_{i,j}$  //opposition-based learning
5:    end for
6:  end for
```

- [1] Ponz-Tienda J L, Salcedo-Bernal A, Pellicer E, et al. Improved adaptive harmony search algorithm for the resource leveling problem with minimal lags[J]. Automation in Construction, 2017, 77: 82-92.
- [2] dos Santos Coelho L, de Andrade Bernert D L. An improved harmony search algorithm for synchronization of discrete-time chaotic systems[J]. Chaos, Solitons & Fractals, 2009, 41(5): 2526-2532.
- [2] Xiang W, An M, Li Y, et al. An improved global-best harmony search algorithm for faster optimization[J]. Expert Systems with Applications, 2014, 41(13): 5788-5803.

➤ 算法协同

$$x_{\text{new},i} \leftarrow x_{\text{new},i} + y_i \times (x_i^U - x_i^L)$$

$$y_i = T \times \text{sign}(\text{rnd} - 0.5) \times \left(\left(1 + \frac{1}{T} \right)^{|2\text{rnd}-1|} - 1 \right)$$

模拟退火

$$x_{\text{new},i} \leftarrow x_{\text{new},i} + \text{rnd}([0, 1]) \times (x_i^j - x_i^k), i = 1, \dots, N \text{ and}$$

$$j, k = \text{rnd}(\{1, 2, \dots, \text{HMS}\})$$

差分进化

[1] Tian Y H, Bo Y M, Gao M F. Parameters choice criteria in harmony annealing for function optimization[J]. Computer Simulation, 2005, 22(4): 70-74.[2] dos Santos Coelho L, de Andrade Bernert D L. An improved harmony search algorithm for synchronization of discrete-time chaotic systems[J]. Chaos, Solitons & Fractals, 2009, 41(5): 2526-2532.

[2] Roy G G, Panigrahi B K, Chakraborty P, et al. On optimal feature selection using modified harmony search for power quality disturbance classification[C]//2009 World Congress on Nature & Biologically Inspired Computing (NaBIC). IEEE, 2009: 1355-1360.

1. Geem Z W, Kim J H, Loganathan G V. A new heuristic optimization algorithm: harmony search. *Simulation*, 2001, 76(2): 60-68.
2. Geem Z W, Lee K S, Park Y J. Application of harmony search to vehicle routing. *American Journal of Applied Sciences*, 2005, 2: 1552–1557.
3. Wang L, Pan Q K, Tasgetiren M F. Minimizing the total flow time in a flow shop with blocking by using hybrid harmony search algorithms. *Expert Systems with Applications*, 2010, 37(12): 7929-7936.
4. Wang L, Pan Q K, Tasgetiren M F. A hybrid harmony search algorithm for the blocking permutation flow shop scheduling problem. *Computers & Industrial Engineering*, 2011, 61(1): 76-83.
5. Gao K, Pan Q, Li J. Discrete harmony search algorithm for the no-wait flow shop scheduling problem with total flow time criterion. *The International Journal of Advanced Manufacturing Technology*, 2011, 56(5-8): 683-692.
6. **Sörensen K. Metaheuristics—the metaphor exposed. *International Transactions in Operational Research*, 2015, 22(1): 3-18.**